

(11) **EP 2 706 613 A1**

(12)

DEMANDE DE BREVET EUROPEEN

(43) Date de publication: 12.03.2014 Bulletin 2014/11

(21) Numéro de dépôt: 12306096.4

(22) Date de dépôt: 11.09.2012

(51) Int Cl.: *H01Q 3/24* (2006.01)

H01Q 21/29 (2006.01) H01Q 5/00 (2006.01)

H01Q 5/00 (2006.01)

H01Q 21/06 (2006.01) H01Q 25/00 (2006.01) H01Q 1/24 (2006.01)

(84) Etats contractants désignés:

AL AT BE BG CH CY CZ DE DK EE ES FI FR GB GR HR HU IE IS IT LI LT LU LV MC MK MT NL NO PL PT RO RS SE SI SK SM TR

Etats d'extension désignés:

BA ME

(71) Demandeur: Alcatel Lucent 75007 Paris (FR)

(72) Inventeur: Harel, Jean-Pierre 22305 Lannion (FR)

(74) Mandataire: Sciaux, Edmond Alcatel-Lucent International 32, avenue de Kléber 92700 Colombes (FR)

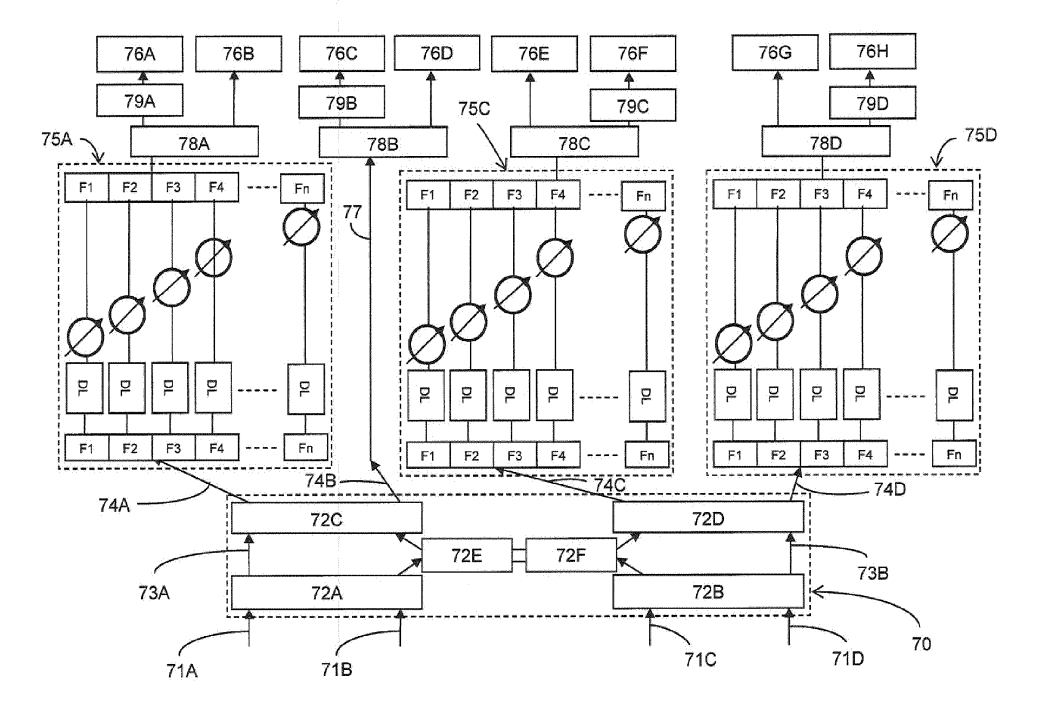
(54) Antenne multibande à inclinaison électrique variable

(57) Un système d'alimentation pour la commande de l'inclinaison électrique variable dans le plan vertical des éléments rayonnants en réseau d'une antenne multibande, comprend une matrice de Butler à N entrée et N sorties comportant des coupleurs hybrides, chaque entrée étant apte à recevoir un signal radiofréquence et chaque sortie étant apte à transmettre le signal à au moins un élément rayonnant.

Au moins une sortie de la matrice de Butler est reliée à un module permettant une inclinaison électrique indé-

pendante pour chaque bande de fréquence, le module comprenant (i) un premier étage de diplexeurs qui sépare le signal selon différentes bandes de fréquence, (ii) un deuxième étage de lignes à retard fixe qui applique un retard électrique donné au signal dans chaque bande de fréquence, (iii) un troisième étage de déphaseurs variable qui introduisent un déphasage ajusté du signal dans chaque bande de fréquence, et (iv) un quatrième étage de diplexeurs qui regroupe les signaux dans les différentes bandes de fréquence pour les transmettre à au moins un élément rayonnant.

FIG. 6



Description

[0001] La présente invention se rapporte au domaine des antennes de télécommunications transmettant des ondes radioélectriques dans le domaine des hyperfréquences au moyen d'éléments rayonnants. Il s'agit de systèmes d'antennes adapté pour une utilisation dans de nombreux systèmes de télécommunications, et notamment pour une application dans les réseaux cellulaires de radiocommunications mobiles. Elle concerne en particulier une antenne-panneau de station de base, à large bande et à double polarisation, dont l'inclinaison électrique est ajustable.

1

[0002] Une zone de couverture est généralement divisée en un certain nombre de cellules, chacune associée à une station de base et une antenne respective. Les réseaux cellulaires de radiocommunications mobiles utilisent des antennes multiéléments ("Array Antenna" en anglais) qui comprennent un réseau d'éléments rayonnants individuels tels que des dipôles. On entend ici par antenne-panneau, un alignement d'éléments rayonnants fonctionnant dans un domaine de fréquence donné et comportant son propre système d'alimentation. Les antennes-panneaux possèdent généralement un connecteur d'accès par bande de fréquence et par polarisation.

[0003] La modification de l'angle vertical du faisceau principal de l'antenne, également connu sous le nom "tilt", permet d'ajuster la zone de couverture de l'antenne. L'angle d'inclinaison de l'antenne peut être ajusté électriquement en changeant le retard temporel ou la phase du signal envoyé ou reçu par chaque élément rayonnant du réseau formant l'antenne, c'est ce qu'on appelle l'inclinaison électrique réglable ou variable. Dans la configuration habituelle, un seul système de commande de l'inclinaison électrique variable VET (pour "Variable Electrical Tilt" en anglais) réalise le pilotage de l'inclinaison dans le plan vertical de l'antenne pour toute la bande de fréquence disponible pour chaque polarisation. Si le spectre de fréquence disponible doit être divisé en plusieurs bandes de fréquence étroites, l'introduction de diplexeurs devient nécessaire. Néanmoins, si le diplexeur est placé à l'accès du système de commande de l'inclinaison électrique VET, l'inclinaison électrique de l'antenne ne peut pas être réglée indépendamment pour chaque bande de fréquence étroite.

[0004] Une solution concernant la possibilité de commander l'inclinaison électrique variable VET par bande de fréquence est de connecter un diplexeur à chaque élément rayonnant, et d'utiliser un système d'alimentation de l'inclinaison électrique variable VET pour chaque bande à contrôler. On entend par diplexeur un dispositif passif qui réalise un multiplexage permettant de mélanger/séparer les signaux dans des bandes de fréquences différentes selon le sens dans lequel il est monté. Dans le cas présent le diplexeur se comporte comme deux filtres fonctionnant dans des bandes de fréquence différentes avec un de leur accès mis en commun. Un tel

diplexeur permet à l'élément rayonnant auquel il est relié de fonctionner en même temps dans les deux bandes de fréquences associées aux deux systèmes d'alimentation connectés au diplexeur, que ce soit en transmission ou en réception. Il existe plusieurs technologies de réalisation de ces diplexeurs dont le poids, le volume, les performances et le coût sont variables.

[0005] Si le nombre d'éléments rayonnants est important, il ne sera pas possible d'utiliser des diplexeurs dits "haute performance" (utilisant des résonateurs à cavité à air par exemple) en raison du volume, du poids, et du coût que ce type d'appareil peut représenter. Par conséquent, des diplexeurs de type à taille réduite sont choisis, comme par exemple des diplexeurs utilisant des lignes microrubans formées sur des substrats à constante diélectrique de valeur élevée (par exemple en céramique) ou utilisant des techniques d'ondes acoustiques de surface SAW (pour "Surface Acoustic Wave" en anglais). Les performances de ces diplexeurs de taille réduite sont diminuées par rapport à celles des diplexeurs utilisant par exemple des résonateurs de type à cavité à air. Les pertes IL (pour "Insertion Loss" en anglais), l'adaptation d'impédance RL (pour "Return Loss" en anglais) et l'isolation entre les bandes de fréquence vont impacter de manière importante les performances RF globales de l'antenne. En outre, un réseau d'alimentation complet dédié à chaque bande, et pour chaque polarisation, à contrôler est nécessaire. Selon la technologie utilisée pour assurer ces fonctions, cela peut être rédhibitoire en raison du volume, du poids et du coût que les besoins d'un diplexeur unitaire et d'un réseau d'alimentation par bande de fréquence peuvent représenter.

[0006] La présente invention a pour but d'éliminer les inconvénients de l'art antérieur, et en particulier de proposer un système d'alimentation unique et simple permettant d'alimenter l'ensemble d'une l'antenne à large bande et de commander individuellement l'inclinaison électrique variable VET dans le plan vertical de cette antenne pour chaque bande de fréquence étroite.

[0007] L'objet de la présente invention est un système d'alimentation pour la commande de l'inclinaison électrique variable dans le plan vertical des éléments rayonnants en réseau d'une antenne multibande, comprenant une matrice de Butler à N entrée et N sorties comportant des coupleurs hybrides, chaque entrée étant apte à recevoir un signal radiofréquence et chaque sortie étant apte à transmettre le signal à au moins un élément rayonnant. Au moins une sortie de la matrice de Butler est reliée à un module permettant une inclinaison électrique indépendante pour chaque bande de fréquence, le module comprenant

- un premier étage de diplexeurs qui sépare le signal selon différentes bandes de fréquence,
- un deuxième étage de lignes à retard fixe qui applique un retard électrique donné au signal dans chaque bande de fréquence,
- un troisième étage de déphaseurs variable qui intro-

40

45

50

- duisent un déphasage ajusté du signal dans chaque bande de fréquence, et
- un quatrième étage de diplexeurs qui regroupe les signaux dans les différentes bandes de fréquence pour les transmettre à au moins un élément rayonnant.

[0008] Selon un premier aspect, le module est relié à une paire d'éléments rayonnants par l'intermédiaire d'un diviseur de puissance et d'au moins une ligne à retard fixe. De préférence la sortie du module est reliée à l'entrée d'un diviseur de puissance, l'une des sorties du diviseur de puissance étant reliée à un premier élément rayonnant et l'autre sortie du diviseur de puissance étant reliée à une ligne à retard fixe reliée à un second élément rayonnant.

[0009] Selon un deuxième aspect, le système comprend un nombre de modules qui est inférieur au nombre N de sorties de la matrice de Butler. De préférence le nombre de modules est égal à N-1.

[0010] Selon une première variante, la matrice de Butler comprend N coupleurs hybrides dont N/2 coupleurs hybrides appartenant à un premier groupe et N/2 coupleurs hybrides appartenant à un deuxième groupe. De préférence la matrice de Butler comprend N entrées reliées aux N/2 coupleurs hybrides du premier groupe, chaque coupleur hybride du premier groupe comportant deux sorties et chaque sortie étant respectivement reliée à un coupleur hybride différent d'un deuxième groupe.

[0011] Selon une deuxième variante, la matrice de Butler comprend N+N/2 coupleurs hybrides dont N/2 coupleurs hybrides appartenant à un premier groupe, N/2 coupleurs hybrides appartenant à un deuxième groupe et N/2 coupleurs hybrides appartenant à un troisième groupe. De préférence la matrice de Butler comprend N entrées reliées à N/2 coupleurs hybrides d'un premier groupe, chaque coupleur hybride du premier groupe comportant deux sorties, une première sortie étant directement reliée à un coupleur hybride d'un deuxième groupe et la seconde sortie étant reliée à un coupleur hybride du deuxième groupe par l'intermédiaire d'un coupleur hybride du troisième groupe.

[0012] L'invention concerne l'art du couplage de circuits pour le phasage des signaux. Plus particulièrement, cette invention se rapporte au contrôle de phase des antennes multiéléments phasées. Chaque élément rayonnant de l'antenne multiélément phasée traite un signal qui est déphasé par rapport aux signaux traités par les autres éléments rayonnants dans l'antenne. La raison de cela est qu'un champ de rayonnement combiné développé par une antenne multiélément phasée en un point éloigné est la somme vectorielle des champs de rayonnement produits par les éléments rayonnants individuels dans l'antenne phasée. En commandant correctement les phases respectives des signaux traités par les éléments d'antenne multiélément phasée, il est possible de concentrer un champ de rayonnement combiné très fortement dans une direction souhaitée, et dans une

forme du diagramme rayonnant souhaitée.

[0013] Ce système a comme avantage de permettre de partager une antenne large bande entre plusieurs utilisateurs (c'est-à-dire une antenne comportant plusieurs entrées) et/ou entre plusieurs bandes de fréquence plus étroites.

[0014] Ce système permet une inclinaison électrique indépendante pour chaque bande de fréquence étroite avec un réseau d'alimentation unique. L'inclinaison électrique variable VET dans le plan vertical du diagramme de rayonnement de l'antenne est contrôlée de façon indépendante pour chaque bande de fréquence. Un seul système d'alimentation est nécessaire, quel que soit le nombre de bandes de fréquence.

[0015] Les accès de l'antenne ne sont pas spécifiques à une bande de fréquence prédéterminée, c'est-à-dire qu'un signal entrant dans une bande de fréquence donnée peut être relié à n'importe lequel des connecteurs d'entrée. Le nombre d'accès est indépendant du nombre de bandes de fréquence pouvant être commandé par inclinaison électrique variable VET.

[0016] L'invention a aussi pour objet un procédé de commande de l'inclinaison électrique variable dans le plan vertical des éléments rayonnants en réseau d'une antenne multibande au moyen d'un système d'alimentation selon l'une des revendications précédentes caractérisé en ce que l'inclinaison électrique est ajustée de manière indépendante pour chaque bande de fréquence au moyen d'un module, reliant la matrice de Butler aux éléments rayonnants, qui comprend un déphaseur variable sur le trajet du signal dans chaque bande de fréquence.

[0017] D'autres caractéristiques et avantages de la présente invention apparaîtront à la lecture de la description qui suit d'un mode de réalisation, donné bien entendu à titre illustratif et non limitatif, et dans le dessin annexé sur lequel

- la figure 1 illustre le principe d'une matrice de Butler 4X4 sans ligne à retard,
- la figure 2 illustre un premier mode de réalisation d'un système d'alimentation pour quatre éléments rayonnants d'antenne dans lequel les inclinaisons dans quatre bandes de fréquence sont indépendamment commandées,
- la figure 3 illustre un deuxième mode de réalisation d'un système d'alimentation d'antenne qui est une variante simplifiée du mode de réalisation de la figure 3
- la figure 4 illustre un troisième mode de réalisation d'un système d'alimentation pour huit éléments rayonnants d'antenne dans lequel les inclinaisons dans quatre bandes de fréquence sont indépendamment commandées,
- la figure 5 illustre un quatrième mode de réalisation d'un système d'alimentation pour huit éléments rayonnants d'antenne dans lequel les inclinaisons dans deux bandes de fréquence sont indépendam-

40

45

30

35

40

ment commandées,

 la figure 6 illustre un cinquième mode de réalisation d'un système d'alimentation pour huit éléments rayonnants d'antenne dans lequel les inclinaisons dans n bandes de fréquence indépendamment commandées.

[0018] La figure 1 est une illustration d'une matrice de Butler. En 1961, Jesse Butler et Ralf Lowe ont proposé une topologie disruptive d'un système d'alimentation d'une antenne qui permet la génération directe de faisceaux multiples d'antenne à éléments rayonnants en réseau. A l'origine, destiné aux radars de surveillance et d'altimétrie, ce principe d'alimentation est aujourd'hui largement utilisé dans de nombreuses applications.

[0019] Cette configuration d'alimentation d'antenne utilise principalement des coupleurs hybrides connus et des lignes à retard. Une matrice de Butler permet de produire M faisceaux en utilisant M (ou M-1) connecteurs d'entrée. Il s'agit d'un dispositif passif réciproque hyperfréquence qui est un agencement de coupleurs hybrides avec N entrées et N sorties, où N est en général une puissance de 2. Plus généralement, une matrice de Butler à 2^N entrées est constituée de N2^{N-1} coupleurs hybrides et (N-1)2^{N-1} déphaseurs, soit un total de (2N-1)2^{N-1} composants. Le nombre de croisements imposé par la topologie spécifique des matrices de Butler est de 2^{N-1} (2^N-N-1).

[0020] Prenons l'exemple d'une matrice de Butler 2x2 connue. Lorsque la première entrée est utilisée, un signal de phase de 0° est envoyé au premier élément rayonnant alors qu'un signal de phase -90° est envoyé au second élément rayonnant. Ce déphasage de 90° entre les deux signaux est du à des coupleurs hybrides -3dB qui divisent les signaux d'entrée en deux signaux ayant la moitié de l'énergie initiale et une phase de sortie qui est décalée de 90° l'un par rapport à l'autre. Par conséquent, en utilisant la première entrée, le diagramme de réseau présente une certaine inclinaison d'angle θ , et en utilisant la seconde entrée le diagramme de réseau présente une certaine inclinaison d'angle $-\theta$.

[0021] Sur la figure 1 est illustré un exemple d'une matrice de Butler 1 dite 4X4, ne comportant pas de ligne à retard. La matrice de Butler 1 est destinée à alimenter quatre éléments rayonnants 2A-2D d'antenne, et comprend quatre entrées 3A-3D et quatre sorties 4A-4B. Chacune des quatre sorties 4A-4B est reliée à chaque élément rayonnant 2A-2D respectivement. La matrice de Butler comprend aussi quatre coupleurs hybrides -3dB 5A-5D, les coupleurs hybrides 5A et 5B d'un premier groupe étant reliés respectivement aux coupleurs hybrides 5C et 5D d'un deuxième groupe par des liaisons 6A et 6B d'une part et par des liaisons 6C et 6D d'autre part. Un commutateur de premier étage 7 est habituellement utilisé avant les entrées 4A-4B pour permettre de sélectionner l'entrée à alimenter.

[0022] Lorsque l'entrée 3A est utilisée, la présence du coupleur hybride 5A sur le trajet du signal divise le signal

d'entrée en deux signaux, chacun ayant la moitié de l'énergie, avec une phase de sortie décalée de 90° pour un signal par rapport l'autre. Le coupleur hybride **5A** produit ainsi d'une part un signal de phase 0° qui est envoyé au coupleur hybride **5C** par la liaison **6A**, et un signal de phase 90° qui est envoyé au coupleur hybride **5D** par la liaison **6B**. Le coupleur hybride **5C** introduit à sont tour un retard électrique qui entraine un déphasage du signal de phase 0° entré par la liaison **6A**. L'élément rayonnant **2B** reçoit à son entrée **4B** un signal qui est déphasé de 90° par rapport au signal d'entrée et par rapport au signal reçu par l'élément rayonnant **2A** à son entrée **4A**.

[0023] De même, lorsque l'entrée 3C est utilisée, le coupleur hybride 5B produit ainsi d'une part un signal de phase 0° qui est envoyé au coupleur hybride 5C par la liaison 6C, et un signal de phase 90° qui est envoyé au coupleur hybride 5D par la liaison 6D. Le coupleur hybride 5D introduit à sont tour un retard électrique qui entraine un déphasage supplémentaire de 90° du signal entré par la liaison 6D. L'élément rayonnant 2C reçoit à son entrée 4C un signal déphasé de 90° par rapport au signal d'entrée et l'élément rayonnant 2D reçoit à son entrée 4D un signal déphasé de 180° par rapport au signal d'entrée.

[0024] A chacune des quatre sorties 4A-4D de la matrice de Butler 1, on recueille un signal sortant ayant le quart de l'énergie du signal entrant. Les déphasages observés à la sortie 4A-4B de la matrice de Butler 1 en fonction de l'entrée 3A-3D choisie sont reportés dans le tableau ci-dessous.

TABLEAU

	4A	4B	4C	4D
3A	0°	90°	90°	180°
3B	90°	180°	0°	90°
3C	90°	0°	180°	90°
3D	180°	0°	90°	0°

[0025] On constate alors que si l'on souhaite que tous les éléments rayonnants en réseau soient alimentés avec la même phase, il est nécessaire d'introduire des retards électriques compensatoires à l'entrée des éléments rayonnants 2A, 2B, 2C et 2D. Par exemple, dans le cas de l'utilisation de l'entrée 3A, des retards électriques de 180°, 90°, 90° et 0° doivent être introduits à l'entrée des éléments rayonnants 2A, 2B, 2C et 2D respectivement pour compenser le déphasage observé à la sortie de la matrice de Butler 1 (cf. la première ligne du tableau). La phase résultante observée à l'entrée de chaque élément rayonnant 2A-2D sera alors la même, et sera décalée de 180° par rapport au signal d'entrée : 0°+180°=180° (élément 2A); 90°+90°=180° (élément 2B); 90°+90°=180° (élément 2C); 180°+0°=180° (élément 2D).

[0026] Mais il faut noter que la même combinaison de

30

40

45

50

retards ne permet pas d'obtenir une alimentation en phase de tous les éléments rayonnants si l'une des trois autres entrées 11A-11D est utilisée, la combinaison de retards à appliquer est spécifique à chaque entrée 11A-11D. Par exemple, dans le cas de l'utilisation de l'entrée 3B, il serait nécessaire d'ajouter des retards électriques compensatoires de 90°, 0°, 180° et 90° à l'entrée des éléments rayonnants 2A, 2B, 2C et 2D respectivement. La phase résultante observée à l'entrée de chaque élément rayonnant 2A-2D sera alors la même et sera décalée de 180° par rapport au signal d'entrée : 90°+90°=180° (élément 2A) ; 180°+0°=180° (élément 2B) ; 0°+180°=180° (élément 2C) ; 90°+90°=180° (élément 2D).

[0027] Dans le premier mode de réalisation illustré sur la figure 2, une matrice de Butler 4X4 10 ne comportant pas de lignes à retard, analogue à la matrice de Butler 4X4 1 de la figure 1, comprend quatre entrées 11A-11D reliées à quatre coupleurs hybrides 12A-12D. A chaque accès radiofréquence 11A-11D est injecté un signal d'entrée, qui peut être un signal monobande ou bien un signal multibande comprenant par exemple plusieurs bandes de fréquence F1-F4.

[0028] La matrice de Butler 4X4 10 comprend donc aussi quatre sorties 13A-13D. A chacune des sortie 13A-13D de la matrice de Butler 10 est connecté un module 14A-14D qui relie respectivement les sorties 13A-13D aux éléments rayonnants 15A-15D. Un retard électrique et un déphasage appropriés sont introduits par les modules 14A-14D. Les accès 11A-11D de l'antenne ne sont pas spécifiques à une bande de fréquence prédéterminée. Quelle que soit l'entrée 11A-11D utilisée, un signal peut être dirigé vers l'un des éléments rayonnants 15A-15D.

[0029] Le signal multibande entrant dans le module 14A-14D est séparé en bandes de fréquence F1, F2, F3 ou F4 étroites grâce à un premier étage 16 de diplexeurs 17.

[0030] Un deuxième étage 18 comportant une ligne à retard DL fixe 19 (pour "Delay Line" en anglais) pour chaque canal de bande de fréquence F1-F4 afin d'appliquer un retard électrique approprié au signal dans chaque bande de fréquence F1-F4 respectivement. On peut souhaiter par exemple que tous les signaux dans la bande de fréquence F1 atteignant les éléments rayonnants 15A-15D soient en phase à la sortie des lignes à retard fixe 19. Dans ce cas la ligne à retard fixe 19 associée au canal de bande de fréquence F1 relié à l'élément rayonnant 15A introduira probablement une valeur de retard différente de celle introduite par la ligne à retard fixe 19 associée au canal de bande de fréquence F1 relié à l'élément rayonnant 15B. Ceci est du au fait que les signaux dans la bande de fréquence F1 n'ont pas tous suivi précédemment le même chemin dans la matrice de Butler

[0031] Le signal passe ensuite dans un étage 20 de déphaseurs variables 21 qui introduit un déphasage adapté à chaque bande de fréquence F1-F4. Les dépha-

seurs variables 21 permettent de faire varier l'inclinaison électrique de l'antenne indépendamment pour chacune des bandes de fréquence F1-F4. En l'absence de déphaseurs variables 21, l'antenne aurait une inclinaison fixe dans la bande de fréquence F1 par exemple, c'està-dire que le diagramme de rayonnement de l'antenne dans la bande de fréquence F1 serait dirigé selon un angle fixe donné par rapport à l'horizon. Cette inclinaison fixe résulte du retard introduit par la ligne à retard fixe 19. [0032] Enfin les signaux des différentes bandes de fréquence F1-F4 atteignent un étage 22 de diplexeurs 23. Ces diplexeurs 23 permettent le regroupement des signaux appartenant aux différentes bandes de fréquence F1-F4 issus de l'étage 20 de déphaseurs variables 21, et leur transmission simultanée par un canal commun vers l'élément rayonnant 15A-15D.

[0033] Les signaux sortants des modules 14A-14D alimentent respectivement les éléments rayonnants 15A-15D qui sont tous aptes à fonctionner dans toutes les bandes de fréquence F1-F4. Par conséquent, l'inclinaison électrique variable VET dans le plan vertical du diagramme de rayonnement de l'antenne peut être contrôlée de façon indépendante pour chaque bande de fréquence F1, F2, F3 et F4 grâce aux modules 14A-14D comprenant des déphaseurs variables 21.

[0034] La figure 3 illustre un deuxième mode de réalisation analogue à celui de la figure 2 mais dans lequel l'un des éléments rayonnants n'est pas associé à un module.

[0035] Une matrice de Butler 4X4 30 ne comportant pas de lignes à retard, analogue à la matrice de Butler 4X4 10 de la figure 2, comprend quatre entrées 31A-31 D reliées à quatre coupleurs hybrides 32A-32D. A chaque entrée 31A-11D peut être introduit un signal multibande comprenant par exemple plusieurs bandes F1-F4. La matrice de Butler 4X4 30 comprend donc aussi quatre sorties 33A-33D. A trois des sortie 33A, 33C et 33D de la matrice de Butler 30 est attribué un module 34A, 33C et 34D qui relie respectivement les sorties 33A, 33C et 33D aux éléments rayonnants 35A, 35C et 35D. La sortie 33B est directement reliée par un câble coaxial 36 à l'élément rayonnant 35B.

[0036] Le diagramme de rayonnement de l'antenne dans le plan vertical est obtenu par la sommation en champ lointain des différents champs rayonnés par chacun des éléments rayonnants. Or, cette sommation s'effectue en utilisant comme référence l'un des éléments rayonnants choisi arbitrairement. Il suffit donc de contrôler la différence de phase entre l'élément rayonnant 35B par exemple, choisi arbitrairement comme référence, et les autres éléments rayonnants 35A, 35C et 35D. Le contrôle de la phase absolue de chaque élément rayonnant n'est donc plus nécessaire. Par rapport au mode de réalisation de la figure 2, l'un des modules, associé à l'élément rayonnant 35B choisi, a pu être supprimé, et le contrôle de la différence de phase entre les éléments 35A-35D peut être effectué par les modules 34A, 34C et 34D qui sont maintenus.

40

50

[0037] Les modes de réalisation illustrés par les figures 2 et 3 présentent de nombreux avantages par rapport à l'art antérieur.

(i) Un seul réseau d'alimentation est nécessaire pour toutes les bandes de fréquences (comme les bandes F1-F4 dans les modes de réalisation des figures 2 et 3), quel que soit le nombre de bandes disponibles. Dans l'art antérieur, un réseau complet d'alimentation dédié était nécessaire pour chacune des bandes de fréquences.

(ii) A chaque accès radiofréquence (comme les entrées 11A-11D ou 31A-31 D dans les modes de réalisation des figures 2 et 3 respectivement), peut être injecté un signal multibande qui comprend plusieurs bandes de fréquence (comme les bandes F1-F4 dans les modes de réalisation des figures 2 et 3) étant donné que les accès RF sont isolés les uns des autres. Des modules assurant les fonctions de filtrage et de déphasage (comme les modules 14A-14D ou 34A, 34C et 31 D dans les modes de réalisation des figures 2 et 3 respectivement), gèrent la répartition de fréquence de la multibande en plusieurs bandes de fréquence plus étroites, et adapte le déphasage pour chaque bande de fréquence. Dans ce cas le positionnement de l'inclinaison électrique variable VET est géré par la bande de fréquence F1-F4, et non par l'entrée 11A-11D ou 31A-31D. (iii) A chaque accès RF, un signal appartenant à n'importe quelle bande de fréquence peut être injecté, c'est à dire qu'il est possible par exemple d'envoyer un signal dans la bande de fréquence F1 à l'entrée 11A, un signal dans la bande de fréquence F2 à l'entrée 11B, un signal dans la bande de fréquence F3 à l'entrée 11C, un signal dans la bande de fréquence F4 à l'entrée 11 D, mais aussi un signal dans la bande de fréquence F4 à l'entrée 11A, un signal dans les bandes de fréquence F1 et F3 à l'entrée 11B, un signal dans les bandes de fréquence F2 et F4 à l'entrée 11C, un signal dans la bande de fréquence F1 à l'entrée 11D, ou bien encore toute autre permutation ou combinaison. Un accès RF n'est donc pas dédié à une bande de fréquence spécifique. Les valeurs de déphasage introduits par les modules (comme les modules 14A-14D ou 34A, 34C et 31D dans les modes de réalisation des figures 2 et 3 respectivement) doivent seulement être fixées à des valeurs adaptées selon la configuration choi-

[0038] On a illustré un troisième mode de réalisation sur la figure 4. Une matrice de Butler 4X4 40, ne comportant pas de lignes à retard, comprend quatre entrées 41A-41D reliées à deux coupleurs hybrides 42A et 42B d'un premier groupe. A chaque entrée 41A-41D peut être introduit un signal multibande comprenant par exemple plusieurs bandes de fréquence F1-F4. Les coupleurs 42A et 42B du premier groupe sont reliés respectivement

aux coupleurs 42C et 42D d'un deuxième groupe par des liaisons directes 43A et 43B d'une part, et d'autre part les coupleurs 42A et 42B du premier groupe sont reliés aux coupleurs 42C et 42D du deuxième groupe par l'intermédiaire des coupleurs hybrides 42E et 42F d'un troisième groupe. Dans ce mode de réalisation avancé, les lignes de croisement de la matrice de Butler ont été remplacées par des coupleurs hybrides 42E et 42F, ce qui permet de réaliser un matrice de Butler complète qui ne comporte aucune liaison croisées. La matrice de Butler 4X4 30 comprend donc aussi quatre sorties 44A-44D. A chacune des quatre sorties 44A-44D de la matrice de Butler 30, on recueille un signal sortant ayant le quart de l'énergie du signal entrant.

[0039] Chacune des sorties 44A, 44C et 44D est respectivement reliée à un module 45A, 45C et 45D. Un retard électrique et un déphasage appropriés sont introduits par les modules 45A, 45C et 45D. Les deux éléments rayonnants 46A et 46B sont reliés à au module 45A par l'intermédiaire d'un diviseur de puissance 48A et d'une ligne à retard 49A placée avant l'un des deux éléments rayonnants 46A et 46B, par exemple ici l'élément rayonnant 46A. La sortie 44B est reliée par un câble coaxial 47 aux deux éléments rayonnant 46C et 46D par l'intermédiaire d'un diviseur de puissance 48B et d'une ligne à retard 49B placée avant l'un des deux éléments rayonnants 46C et 46D, par exemple l'élément rayonnant 46C. De même le module 45C est relié aux deux éléments rayonnants 46E et 46F par l'intermédiaire d'un diviseur de puissance 48C et d'une ligne à retard 49C placée avant l'un des deux éléments rayonnants 46E et 46F, par exemple l'élément rayonnant 46F. Et les deux éléments rayonnants 46G et 46H sont reliés à au module 45D par l'intermédiaire d'un diviseur de puissance 48D et d'une ligne à retard 49D placée avant l'un des deux éléments rayonnants 46G et 46H, par exemple ici l'élément rayonnant 46H. Les sorties ont été dédoublées, grâce à la combinaison de diviseurs et de lignes à retard, afin de permettre de passer de quatre à huit éléments rayonnants alimentés sans augmenter le nombre des entrées.

[0040] Dans le mode de réalisation illustré sur la figure 4, les éléments rayonnants sont donc contrôlés en phase par paire d'éléments. D'autres configurations basées sur le même principe sont réalisables comme par exemple en limitant le dédoublement de la sortie à certains modules seulement, ou bien au contraire en triplant, voire en quadruplant, la sortie de certains modules en multipliant les diviseurs combinés aux lignes à retard.

[0041] Bien entendu le contrôle de huit éléments rayonnants serait aussi possible grâce à l'utilisation d'une matrice de Butler 8x8 par exemple suivie de huit ou sept modules tels que décrit respectivement dans les modes de réalisation des figures 2 et 3. Néanmoins la figure 4 illustre un mode de réalisation avantageux au point de vue du coût, du poids et du volume de l'antenne. [0042] La limitation du nombre de composants nécessaires, et donc la simplification de l'architecture de l'an-

20

25

40

45

tenne, n'est envisageable que si on accepte une réduction partielle des performances radiofréquences qui se reflète sur le diagramme de rayonnement de l'antenne. [0043] La figure 5 illustre un mode de réalisation particulier où l'inclinaison de l'antenne est contrôlée seulement pour deux bandes de fréquences F1 et F2.

[0044] Une matrice de Butler 4X4 50, ne comportant pas de lignes à retard, comprend quatre entrées 51A-51D reliées à deux coupleurs hybrides 52A et 52B d'un premier groupe. A chaque entrée 51A-51D peut être introduit un signal bibande comprenant deux bandes de fréquence F1 et F2. Les coupleurs hybrides 52A et 52B sont reliés respectivement aux coupleurs hybrides 52C et 52D d'un deuxième groupe par des liaisons directes 53A et 53B d'une part, et d'autre part les coupleurs 52A et 52B sont reliés aux coupleurs 52C et 52D par l'intermédiaire des coupleurs hybrides 52E et 52F d'un troisième groupe. A chacune des quatre sorties 54A-54D de la matrice de Butler 50, on recueille un signal sortant ayant le quart de l'énergie du signal entrant.

[0045] Chacune des sorties 54A, 54C et 54D de la matrice de Butler 50 est respectivement reliée à un module 55A, 55C et 55D. Les deux éléments rayonnants 56A et 56B sont reliés à au module 55A par l'intermédiaire d'un diviseur de puissance 58A et d'une ligne à retard 59A placée avant l'un des deux éléments rayonnants 56A et 56B, par exemple l'élément rayonnant 56A. La sortie 54B est reliée par un câble coaxial 57 aux deux éléments rayonnant 56C et 56D par l'intermédiaire d'un diviseur de puissance 58B et d'une ligne à retard 59B placée avant l'un des deux éléments rayonnants 56C et 56D, par exemple l'élément rayonnant 56C. De même le module 55C est relié aux deux éléments rayonnants 56E et 56F par l'intermédiaire d'un diviseur de puissance 58C et d'une ligne à retard 59C placée avant l'un des deux éléments rayonnants 56E et 56F, par exemple ici l'élément rayonnant 56F. Et les deux éléments rayonnants 56G et 56H sont reliés à au module 55D par l'intermédiaire d'un diviseur de puissance 58D et d'une ligne à retard 59D placée avant l'un des deux éléments rayonnants **56G** et **56H**, par exemple l'élément rayonnant **56H**. [0046] Un retard électrique et un déphasage appropriés sont introduits par les modules 55A, 55C et 55D. Le signal bibande entrant dans le module 55A, par exemple, est séparé en deux bandes de fréquence F1 et F2 étroites grâce à un premier étage 60 de diplexeurs. Un deuxième étage 61 comportant des lignes à retard fixe applique un retard électrique déterminé au signal dans chaque bande de fréquence F1 et F2 respectivement. Le signal passe ensuite dans un troisième étage 62 de déphaseurs variables qui adapte le déphasage dans chaque bande de fréquence F1 et F2 afin de faire varier l'inclinaison électrique indépendamment pour chacune des bande de fréquence F1 et F2. Enfin le signal atteint le quatrième étage 63 de diplexeurs qui regroupe les signaux appartenant aux deux bandes de fréquence F1 et F2 pour les envoyer dans le diviseur de puissance 58A. Le signal sortant du diviseur de puissance 58A alimente l'élément rayonnant **56A** et, via la ligne à retard fixe **59A**, l'élément rayonnant **56B** qui sont aptes à fonctionner dans les deux bandes de fréquence **F1** et **F2**. L'inclinaison électrique variable VET dans le plan vertical du diagramme de rayonnement de l'antenne peut ainsi être contrôlée de façon indépendante pour chacune des deux bandes de fréquence **F1** et **F2** grâce au module **55A**. De même, les explications données pour le module **55A** sont applicables aux modules **55C** et **55D**.

[0047] Le mode de réalisation illustré sur la figure 6 permet de contrôler de 1 à n bandes de fréquence F1-Fn où n est supérieur à 4.

[0048] Une matrice de Butler 4X4 70, ne comportant pas de lignes à retard, analogue à la matrice de Butler 4X4 50 de la figure 5, comprend quatre entrées 71A-71D reliées à deux coupleurs hybrides 72A et 72B d'un premier groupe. Les coupleurs hybrides 72A et 72B sont reliés respectivement aux coupleurs hybrides 72C et 72D d'un deuxième groupe par des liaisons directes 73A et 73B d'une part, et d'autre part les coupleurs 72A et 72B sont reliés aux coupleurs 72C et 72D par l'intermédiaire des coupleurs hybrides 72E et 72F d'un troisième groupe. Chacune des sorties 74A, 74C et 74D de la matrice de Butler 70 est respectivement reliée à un module 75A, 75C et 75D, analogues aux modules 55A, 55C et 55D de la figure 5. Les modules 75A, 75C et 75D sont euxmêmes reliés chacun à une paire d'éléments rayonnants 76A-76B, 76E-76F et 76G-76H respectivement par l'intermédiaire de diviseurs de puissance 78A, 78C et 78D et de lignes à retard 79A, 79C et 79D. La sortie 74B est reliée par un câble coaxial 77 à la paire d'éléments rayonnants 76C-76D par l'intermédiaire d'un diviseur de puissance 78B et d'une ligne à retard 79B.

[0049] A chaque accès radiofréquence 71A-71D est injecté un signal d'entrée, qui peut être un signal monobande ou bien un signal multibande comprenant par exemple plusieurs bandes de fréquence F1-Fn. L'inclinaison électrique variable VET dans le plan vertical du diagramme de rayonnement de l'antenne est contrôlée de façon indépendante pour chaque bande de fréquence F1-Fn. Le nombre de bande de fréquence F1-Fn n'est à priori pas limité, sinon par des contraintes que l'on s'imposerait. Le signal multibande entrant dans les modules 74A, 74C et 74D est séparé en bandes de fréquence F1-**Fn** étroites grâce à un premier étage de diplexeurs. [0050] Bien entendu, la présente invention n'est pas limitée aux modes de réalisation décrits. En particulier, on pourra élargir les exemples décrits à tous les types de matrice de Butler ayant de 2 à N entrées et sorties,

Revendications

cune des sorties.

 Système d'alimentation pour la commande de l'inclinaison électrique variable dans le plan vertical des

pour contrôler de 1 à n bandes de fréquence F1-Fn et

alimenter de 1 à X éléments rayonnants à partir de cha-

15

éléments rayonnants en réseau d'une antenne multibande, comprenant une matrice de Butler à N entrée et N sorties comportant des coupleurs hybrides, chaque entrée étant apte à recevoir un signal radiofréquence et chaque sortie étant apte à transmettre le signal à au moins un élément rayonnant, caractérisé en ce que au moins une sortie de la matrice de Butler est reliée à un module permettant une inclinaison électrique indépendante pour chaque bande de fréquence, le module comprenant

13

- un premier étage de diplexeurs qui sépare le signal selon différentes bandes de fréquence,

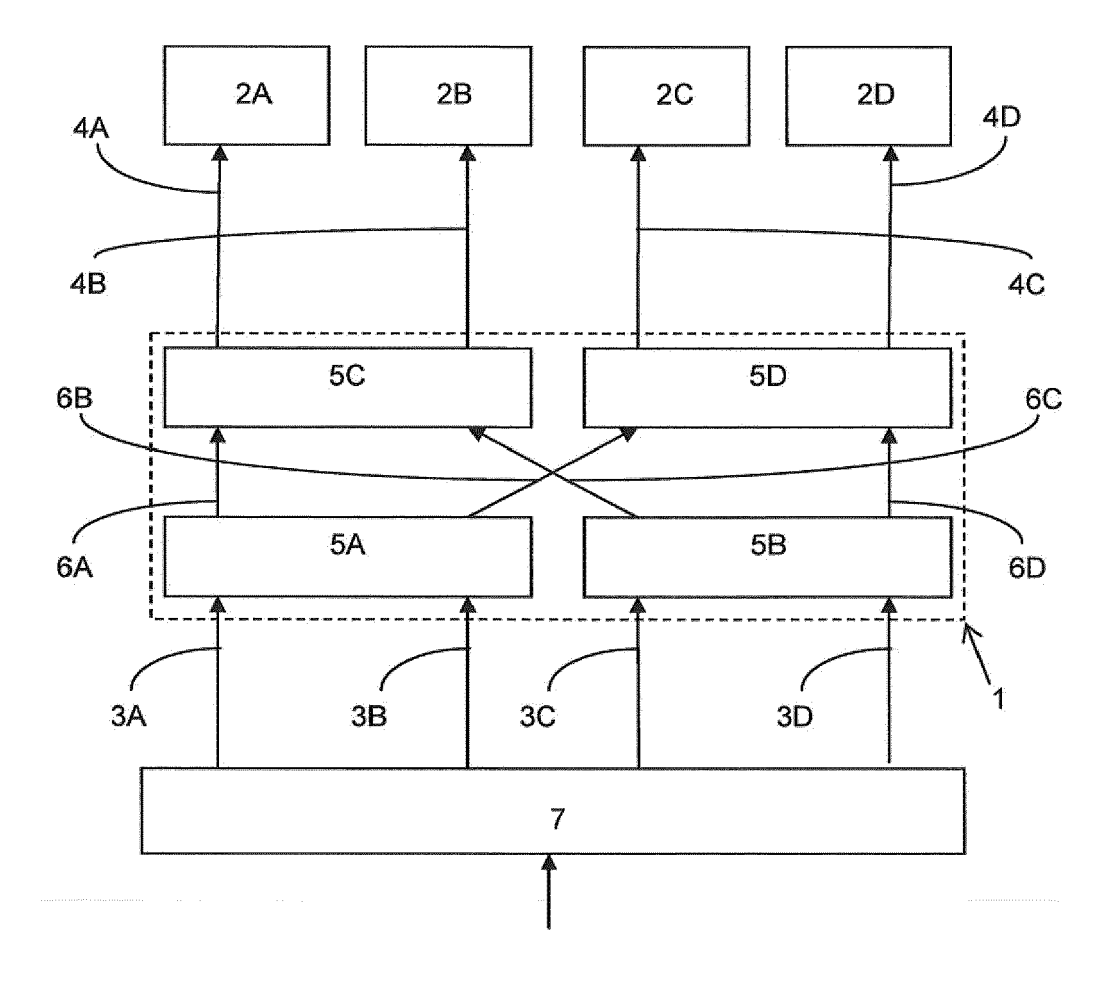
- un deuxième étage de lignes à retard fixe qui applique un retard électrique donné au signal dans chaque bande de fréquence,
- un troisième étage de déphaseurs variables qui introduit un déphasage ajusté du signal dans chaque bande de fréquence, et
- un quatrième étage de diplexeurs qui regroupe les signaux dans les différentes bandes de fréquence pour les transmettre à au moins un élément rayonnant.
- 2. Système d'alimentation selon la revendication 1, dans lequel le module est relié à une paire d'éléments rayonnants par l'intermédiaire d'un diviseur de puissance et d'au moins une ligne à retard fixe.
- 3. Système d'alimentation selon la revendication 2, dans lequel la sortie du module est relié à l'entrée d'un diviseur de puissance, l'une des sortie du diviseur de puissance étant relié à un premier élément rayonnant et l'autre sortie du diviseur de puissance étant reliée à une ligne à retard fixe reliée à un second élément rayonnant.
- 4. Système d'alimentation selon l'une des revendications 1 à 3, comprenant un nombre de modules qui est inférieur au nombre N de sorties de la matrice de Butler.
- **5.** Système d'alimentation selon la revendication 4, dans lequel le nombre de modules est égal à N-1.
- 6. Système d'alimentation selon l'une des revendications précédentes, dans lequel la matrice de Butler comprend N coupleurs hybrides dont N/2 coupleurs hybrides appartenant à un premier groupe et N/2 coupleurs hybrides appartenant à un deuxième groupe, chaque coupleur hybride du premier groupe comportant deux sorties et chaque sortie étant respectivement reliée à un coupleur hybride différent d'un deuxième groupe.
- Système d'alimentation selon l'une des revendications précédentes, dans lequel la matrice de Butler comprend N+N/2 coupleurs hybrides dont N/2 cou-

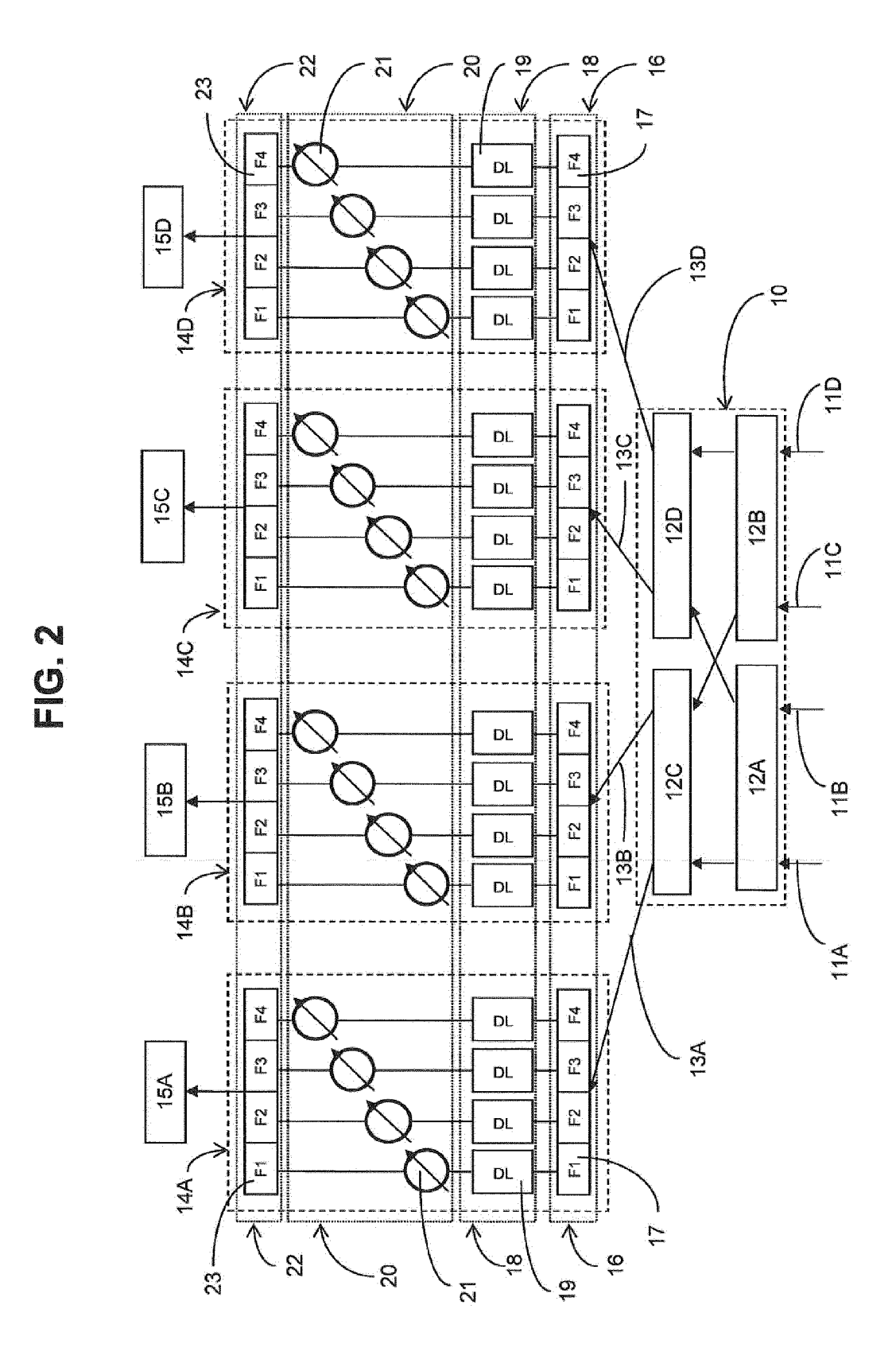
pleurs hybrides appartenant à un premier groupe, N/2 coupleurs hybrides appartenant à un deuxième groupe et N/2 coupleurs hybrides appartenant à un troisième groupe, chaque coupleur hybride du premier groupe comportant deux sorties, une première sortie étant directement reliée à un coupleur hybride du deuxième groupe et la seconde sortie étant reliée à un coupleur hybride du deuxième groupe par l'intermédiaire d'un coupleur hybride du troisième groupe.

8. Procédé de commande de l'inclinaison électrique variable dans le plan vertical des éléments rayonnants en réseau d'une antenne multibande au moyen d'un système d'alimentation selon l'une des revendications précédentes, caractérisé en ce que l'inclinaison électrique est ajustée de manière indépendante pour chaque bande de fréquence au moyen d'un module, reliant la matrice de Butler aux éléments rayonnants, qui comprend un déphaseur variable sur le trajet du signal dans chaque bande de fréquence.

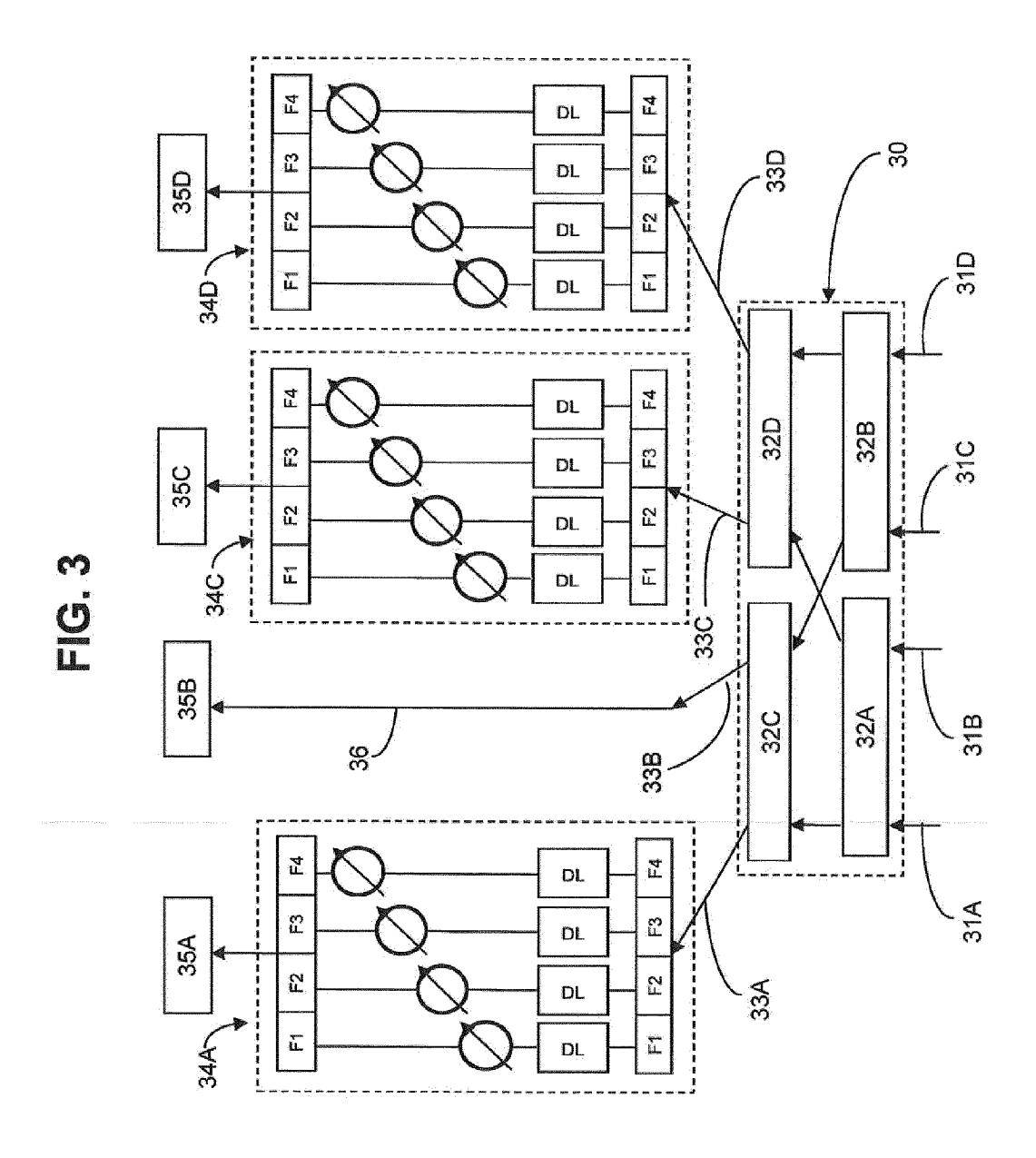
55

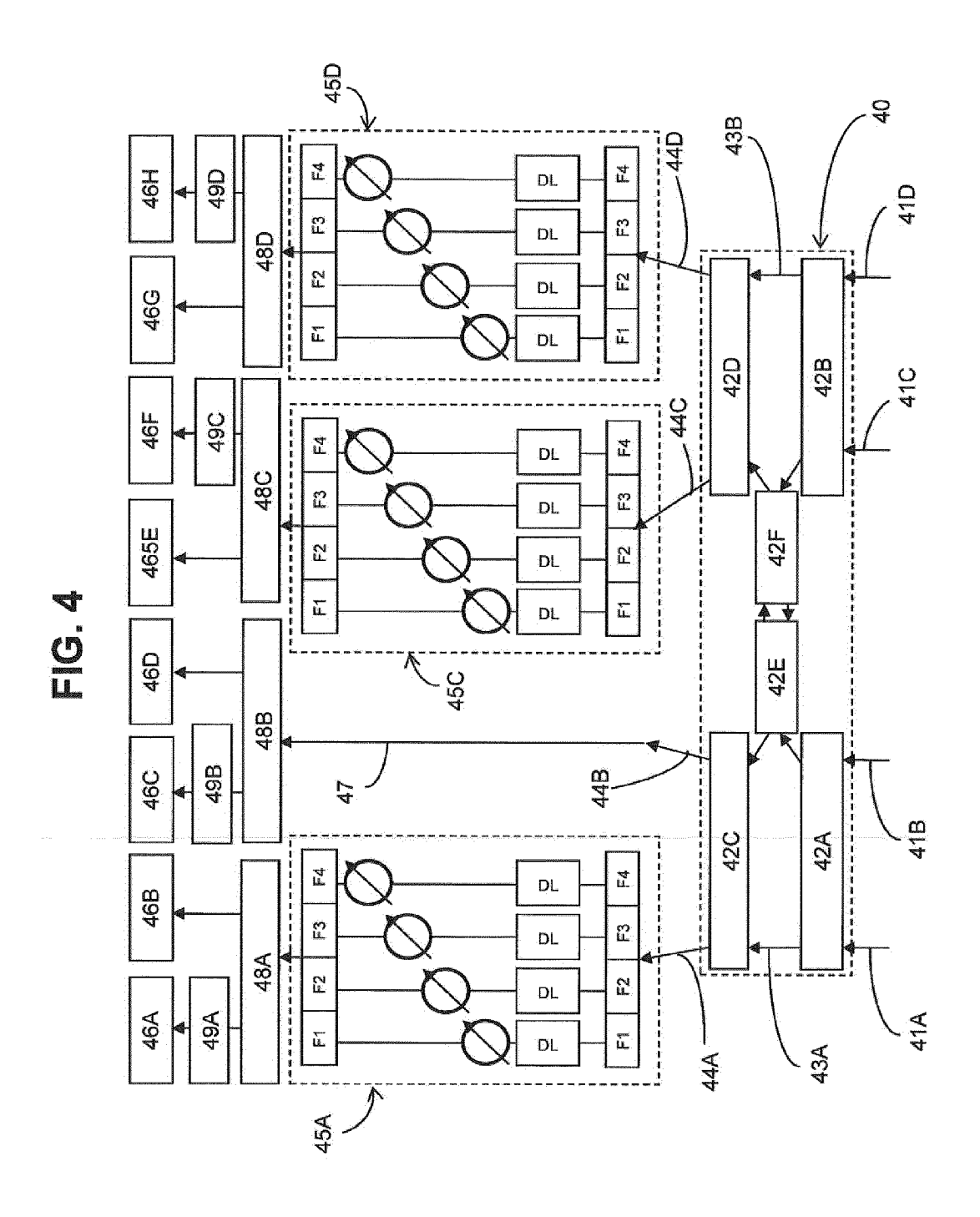
FIG. 1

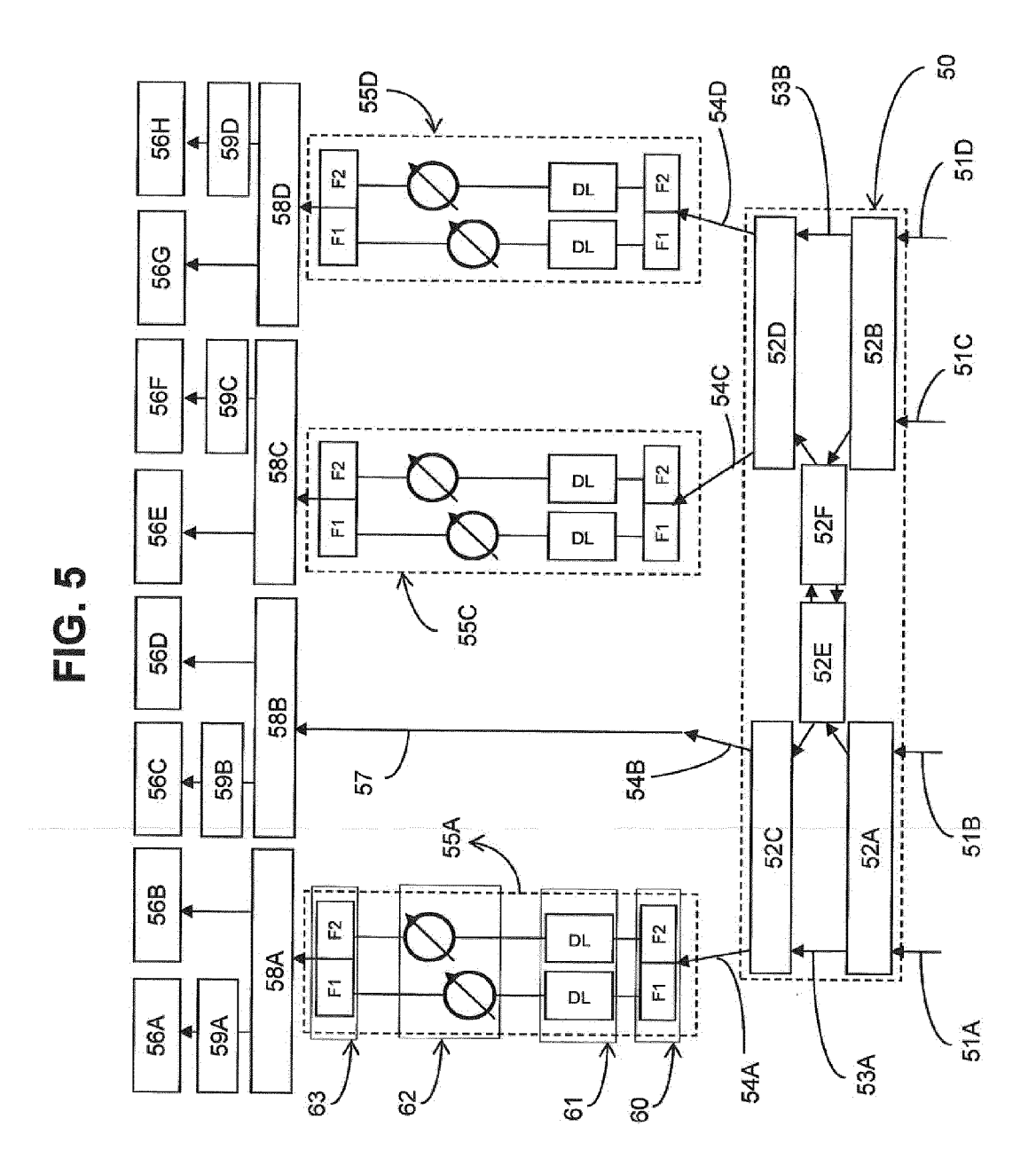


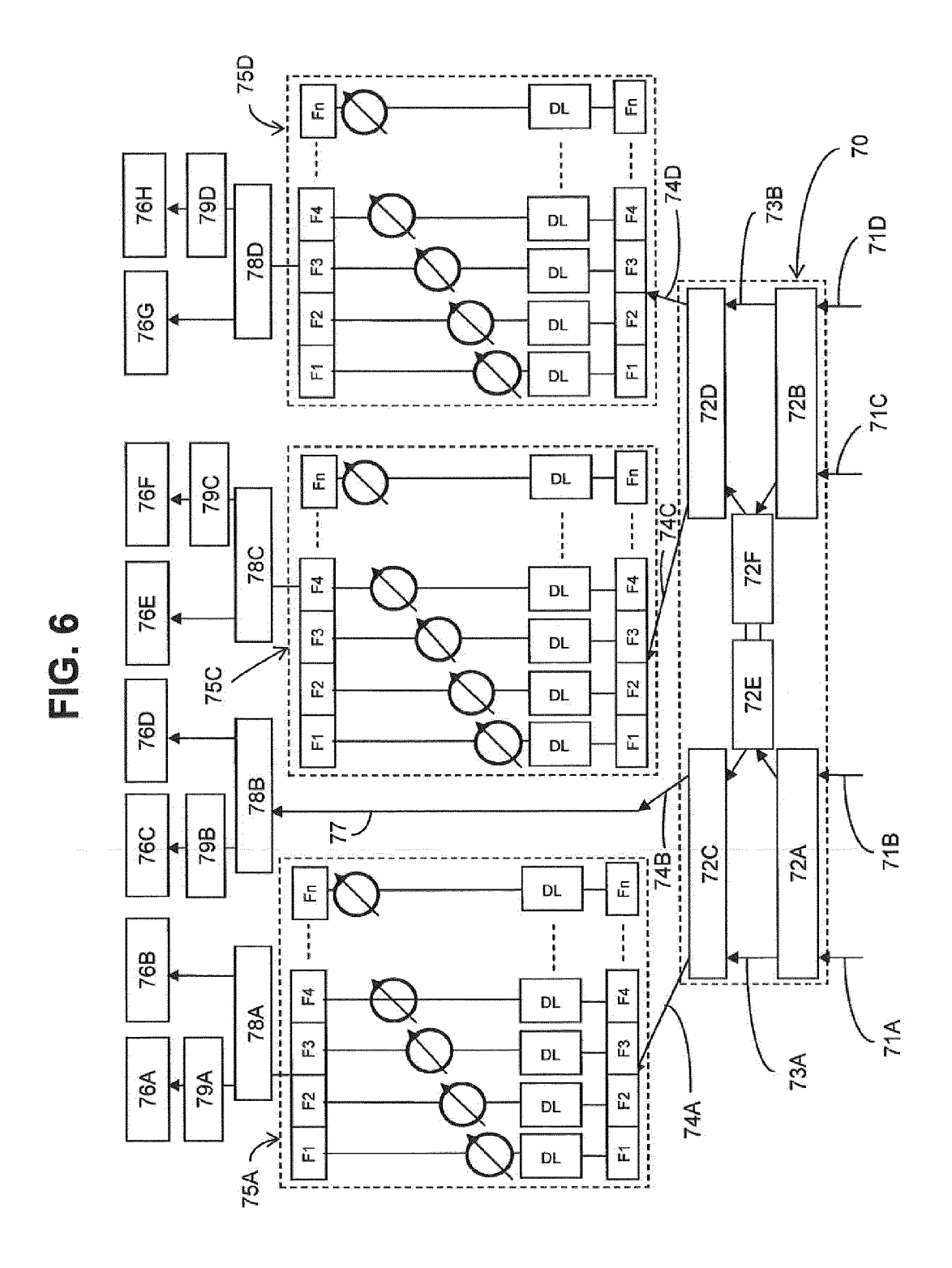


10











RAPPORT DE RECHERCHE EUROPEENNE

Numéro de la demande EP 12 30 6096

DO	CUMENTS CONSIDER					
Catégorie	Citation du document avec des parties pertir	indication, en cas de besoin, nentes	Revendication concernée	CLASSEMENT DE LA DEMANDE (IPC)		
X Y	EP 0 395 239 A1 (HU 31 octobre 1990 (19 * colonne 3, ligne * colonne 5 - color	39 - ligne 52 *	1,4-8	INV. H01Q3/24 H01Q21/06 H01Q21/29 H01Q25/00 H01Q5/00 H01Q1/24 H01Q3/40		
Υ	JP 2000 223924 A (M CORP) 11 août 2000 * alinéa [0001] - a figure 1 *	(2000-08-11)	2,3			
А	"A broadband beamfo frenquecy band deco PROCEEDINGS OF THE CONFERENCE ON COMMU 22 décembre 2010 (2	INTERNATIONAL UNICATIONS ENGINEERING,	1-8			
A	matrix for planar a PROCEEDINGS OF INTE CONFERENCE ON APPLI TECHNOLOGY,	nd analysis of butler array applications", ERNATIONAL BHURBAN ED SCIENCES AND D11-01-10), - 13 janvier	7	DOMAINES TECHNIQUES RECHERCHES (IPC) H01Q H03F		
Le pre	ésent rapport a été établi pour toi	utes les revendications				
l	ieu de la recherche	Date d'achèvement de la recherche		Examinateur		
	La Haye	29 janvier 2013	Hue	so González, J		
X : parti	TEGORIE DES DOCUMENTS CITE culièrement pertinent à lui seul culièrement pertinent en combinaisor	E : document de br date de dépôt ou	evet antérieur, ma naprès cette date			

EPO FORM 1503 03.82 (P04C02)

- X : particulièrement pertinent à lui seul
 ; particulièrement pertinent en combinaison avec un
 autre document de la même catégorie
 A : arrière-plan technologique
 O : divulgation non-éorite
 P : document intercalaire

- D : cité dans la demande L : cité pour d'autres raisons
- & : membre de la même famille, document correspondant

ANNEXE AU RAPPORT DE RECHERCHE EUROPEENNE RELATIF A LA DEMANDE DE BREVET EUROPEEN NO.

EP 12 30 6096

La présente annexe indique les membres de la famille de brevets relatifs aux documents brevets cités dans le rapport de recherche européenne visé ci-dessus.

Lesdits members sont contenus au fichier informatique de l'Office européen des brevets à la date du

Les renseignements fournis sont donnés à titre indicatif et n'engagent pas la responsabilité de l'Office européen des brevets.

29-01-2013

Document brevet cité au rapport de recherche		Date de publication		Membre(s) de la famille de brevet(s)	Date de publication
EP 0395239	A1	31-10-1990	CA DE DE EP JP US	2011483 A1 69007157 D1 69007157 T2 0395239 A1 2302102 A 5233358 A	24-10-1990 14-04-1994 13-10-1994 31-10-1990 14-12-1990 03-08-1993
JP 2000223924	Α	11-08-2000	AUCU	N	

Pour tout renseignement concernant cette annexe : voir Journal Officiel de l'Office européen des brevets, No.12/82

EPO FORM P0460